Zeitschrift: Schweizerische Zeitschrift für Vermessung, Kulturtechnik und

Photogrammetrie = Revue technique suisse des mensurations, du

génie rural et de la photogrammétrie

Herausgeber: Schweizerischer Verein für Vermessungswesen und Kulturtechnik =

Société suisse de la mensuration et du génie rural

Band: 46 (1948)

Heft: 2

Artikel: Über den Rückwärtseinschnitt aus fehlerhaften Festpunkten

Autor: Ackerl, Franz

DOI: https://doi.org/10.5169/seals-205577

Nutzungsbedingungen

Die ETH-Bibliothek ist die Anbieterin der digitalisierten Zeitschriften auf E-Periodica. Sie besitzt keine Urheberrechte an den Zeitschriften und ist nicht verantwortlich für deren Inhalte. Die Rechte liegen in der Regel bei den Herausgebern beziehungsweise den externen Rechteinhabern. Das Veröffentlichen von Bildern in Print- und Online-Publikationen sowie auf Social Media-Kanälen oder Webseiten ist nur mit vorheriger Genehmigung der Rechteinhaber erlaubt. Mehr erfahren

Conditions d'utilisation

L'ETH Library est le fournisseur des revues numérisées. Elle ne détient aucun droit d'auteur sur les revues et n'est pas responsable de leur contenu. En règle générale, les droits sont détenus par les éditeurs ou les détenteurs de droits externes. La reproduction d'images dans des publications imprimées ou en ligne ainsi que sur des canaux de médias sociaux ou des sites web n'est autorisée qu'avec l'accord préalable des détenteurs des droits. En savoir plus

Terms of use

The ETH Library is the provider of the digitised journals. It does not own any copyrights to the journals and is not responsible for their content. The rights usually lie with the publishers or the external rights holders. Publishing images in print and online publications, as well as on social media channels or websites, is only permitted with the prior consent of the rights holders. Find out more

Download PDF: 10.12.2025

ETH-Bibliothek Zürich, E-Periodica, https://www.e-periodica.ch

 \pm 4 ms bzw. \pm 6 ms beträgt. Unter Abkürzung der Wartezeit auf Signalverbesserungen auf $\frac{1}{3}$ der bisherigen, also unter Entnahme der Uhr-

stände an der Stelle $+t_m\sqrt{2}$ würde die Genauigkeit im Falle Deutsche Seewarte auf jeden Fall (\pm 6 ms), im Falle Geodätisches Institut nahezu (mit \pm 6 ms) beibehalten werden.

Auf Grund dieser Untersuchungen könnte gesagt werden, daß für ein und dieselben Quarzuhren das Potsdamer Verfahren genauere Ergebnisse liefert als das der Deutschen Seewarte. Indessen ist dieser Schluß, allein schon wegen der geringfügigen Genauigkeitsunterschiede, nur bedingt richtig. Sind nämlich Uhren in Betrieb, deren Acceleration tatsächlich über größere Zeiträume (etwa 6 Monate) als konstant angesehen werden können, so ist diese Folgerung zutreffend. Weisen die Uhren jedoch eine lebhaftere Accelerationsschwankung auf, so wird eine Standkurve dritter Ordnung noch eher zutreffend sein als eine Gerade, so daß das Gangverhalten der speziellen Uhren für die Wahl des Rechenverfahrens allein ausschlaggebend ist.

Die Entnahme der Uhrstände zur jeweils günstigsten und zugleich nächstliegenden Epoche ist nur unter der Voraussetzung möglich, daß jeden Tag – eigentlich ununterbrochen – eine Ausgleichung der anfallenden astronomisch bestimmten Uhrstände erfolgt¹. Ein mechanisches Gerät zur automatischen Durchführung dieser sonst kaum zu bewältigenden Rechenarbeit – auch nach Ansätzen höherer Ordnung – habe ich entworfen, welches von der mechanischen Werkstätte O. Kaulfuß in Dresden gebaut worden ist. Es wird in einer eigenen Veröffentlichung darüber berichtet werden.

Über den Rückwärtseinschnitt aus fehlerhaften Festpunkten

Von Prof. Dr. Franz Ackerl, Wien.

In einer Arbeit [1], die sich derzeit im Druck befindet und voraussichtlich im Oktober 1947 bei dem geodätischen Kongreß in Florenz erscheinen wird, ist untersucht worden, wie sich die Koordinatenfehler der gegebenen Punkte auf den durch einfachen Rückwärtseinschnitt bestimmten Neupunkt übertragen.

Es wurde dabei an eine frühere Untersuchung [2] angeknüpft, bei der, in rein geometrischer Betrachtung, die Wirkung der fehlerhaften

¹ Das Verfahren zur Bestimmung der Signalverbesserung mit Ausnützung der Gewichtsmaxima ausgeglichener Parabeln und deren günstiger Lage wurde an der ehem. Deutschen Seewarte ab 1. Januar 1945 angewandt; nach diesem wurden die bis 1. Mai 1945 14tägig veröffentlichten Verbesserungen bestimmt.

Festpunkte für den Fall des Vorwärtseinschnittes ermittelt worden war. Den Anlaß für eine Weiterentwicklung dieser Frage gaben bereits 1939 die Erfahrungen des Feldzuges in Polen. Bei der damals notwendigen raschen geodätischen Überbrückung von aufeinanderfolgenden breiten Geländestreifen, wobei die durch Vorwärtseinschnitt bestimmten Punkte am Streifenrand sogleich wieder als Ausgangspunkte für weitere Vorwärts- oder Rückwärtseinschnitte dienen mußten, stellte sich von selbst die Frage ein: "Wann werden die Fehler der abgeleiteten Punkte, trotz der mit modernen Theodoliten erreichten hohen Beobachtungsgenauigkeit, so groß, daß die berechneten Koordinaten für bestimmte Zwecke untauglich sind?" Würde man hiebei den immer mehr anwachsenden Lagefehler der Anschlußpunkte außer acht lassen, so könnte der geschilderte Vorgang dauernder Vorwärtseinschnitte, die durch den raschen Frontfortschritt und auch aus Mangel an anderen trigonometrischen Unterlagen bedingt bzw. erzwungen waren, wesentlich öfter wiederholt werden, als es tatsächlich der Fall sein darf.

In der Ruhèzeit nach dem Feldzug in Polen wurde die Untersuchung [2] unter Anwendung des Fehlerfortpflanzungsgesetzes erweitert und für eine praktische Verwendbarkeit bearbeitet, ohne daß sich die Möglichkeit zu einer Veröffentlichung der Ergebnisse geboten hätte.

Im Zusammenhang mit den während des Krieges ausgeführten mannigfachen trigonometrischen Arbeiten beim Zusammenschluß von zwei oder mehreren, meist verschieden orientierten Netzen insbesonders an Staatsgrenzen, habe ich die Untersuchungen über den Einfluß fehlerhafter Festpunkte auf fast alle Grundaufgaben geodätischer Punktbestimmungen ausgedehnt. Auch diese Ergebnisse konnten nicht veröffentlicht werden.

Bei der Durchsicht der während des Krieges erschienenen geodätischen Fachliteratur habe ich 1945 eine sehr interessante Arbeit [3] aufgefunden, in der die Lösung entwickelt wird für den Einfluß der Fehler der Ausgangspunkte auf den Vorwärtseinschnitt, die Aufgabe von Hansen und auf eine Kombination beider Verfahren.

Wie aus dem von A. Berroth verfaßten Vorwort zu [3] hervorgeht, wurde das Verfahren nach seinen Vorschlägen entwickelt, als Ersatz für die Anwendung der langwierigen und kostspieligen gewöhnlichen Triangulationsmethoden in in Entwicklung befindlichen Ländern oder Kolonialgebieten, um die notwendigen Unterlagen für ihre weitere luftphotogrammetrische Aufschließung zu schaffen.

Die Zusammenfassung des Autors weist darauf hin, daß nach dem Verfahren von Berroth "von zwei Festpunkten aus, über zwei Fesselballone als Zwischenziele, ein Punktpaar in großer Entfernung festgelegt wird". Es wird sodann der Einfluß fehlerhafter Ausgangspunkte und Beobachtungen auf die Bestimmung des Punktpaares untersucht und schließlich die günstigste Gestalt der Grundfigur ermittelt.

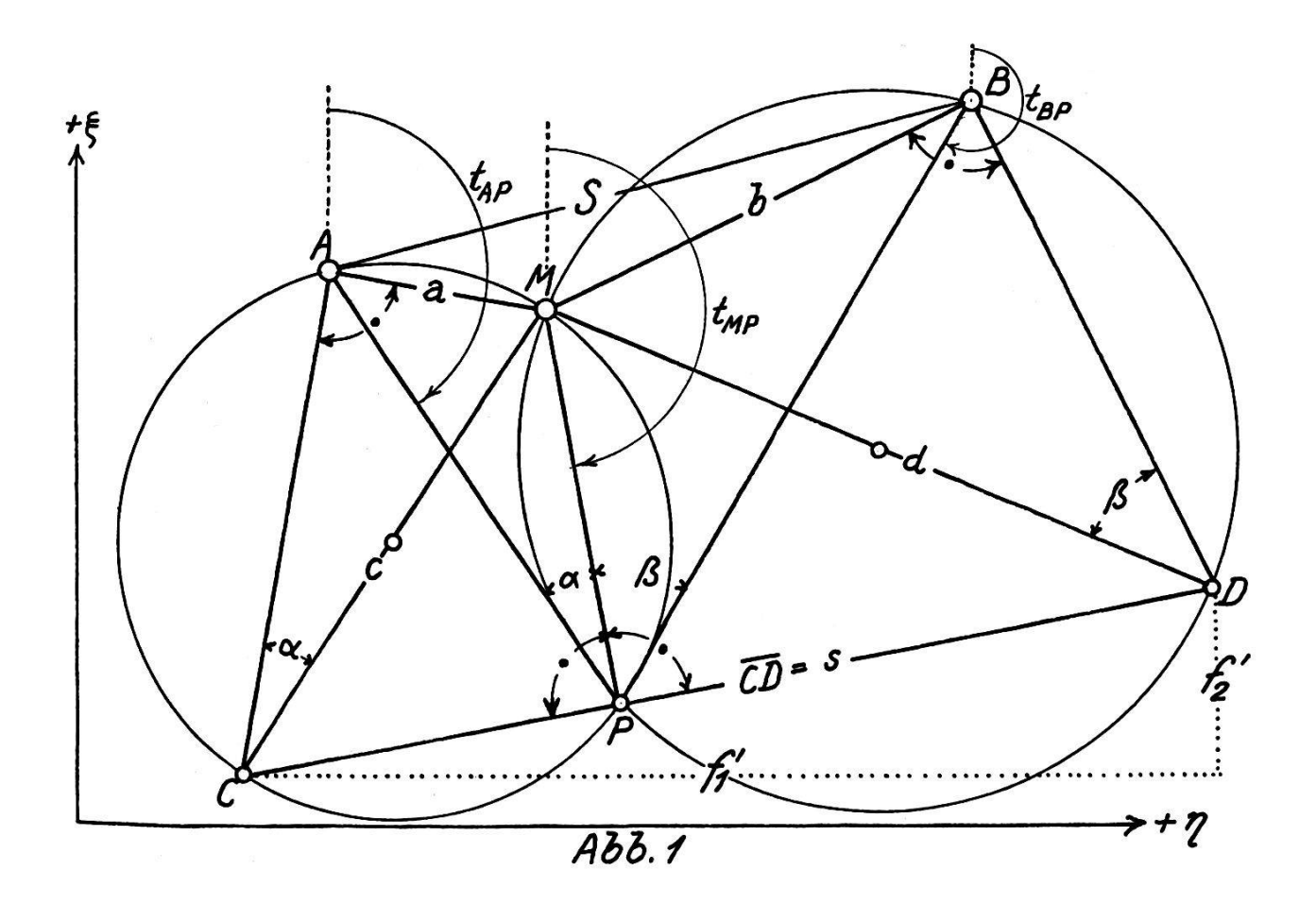
Es erschien mir zwecklos, die Ergebnisse aller eigenen Untersuchungen jetzt noch und nur deshalb zu veröffentlichen, weil der Weg der Lösung ein etwas anderer war. Während *Hinterkeuser*, besonders bei der

Behandlung der Aufgabe von Hansen, wegen der dort auftretenden symmetrischen Figurenbeziehungen, in vorteilhafter Weise mit Determinanten gearbeitet hat, war von mir jener Vorgang eingehalten worden, der in der genannten Arbeit [1] für die Aufgabe des Rückwärtseinschnittes dargestellt ist, die bisher noch nicht in dieser Art untersucht wurde.

Eine Nutzanwendung fanden die Ergebnisse bei der nach meinen Gedanken versuchten Herstellung einer geodätischen Verbindung von Kreta nach Zielen in Afrika, die durch die nahezu lotrechten Leuchtbahnen der Schüsse schwerster Flak gegeben waren. Wenn die Ergebnisse dieses Versuches zufolge der Kriegsereignisse auch verloren gingen und als vernichtet gelten müssen, so darf hierüber vielleicht in späterer Zeit gelegentlich noch berichtet werden. Die vor kurzem erschienenen amerikanischen Nachrichten über gelungene Abschüsse von V-Raketen in sehr große Höhen, lassen es wohl als denkbar erscheinen, daß entsprechend stark leuchtende Bahnen solcher Raketen, in ähnlicher Weise, für die Herstellung von Kontinentverbindungen verwendet werden könnten.

Mit Hinweis auf die ausführlicheren Entwicklungen in der genannten Arbeit [1] werden hier deren Ergebnisse kurz zusammengefaßt.

Ausgehend von der Darstellung der Koordinaten eines rückwärts eingeschnittenen Punktes, die für die Verwendung der Rechenmaschine im Handbuch von *Jordan-Eggert* [4] (S. 444) angegeben ist, erhalten wir an Hand der Abb. 1 die folgenden grundlegenden Beziehungen im allgemeinen Koordinatensystem ξ , η .



$$\eta_C - \eta_A = (\xi_M - \xi_A) \operatorname{ct} \alpha, \qquad \xi_C - \xi_A = -(\eta_M - \eta_A) \operatorname{ct} \alpha,
\eta_D - \eta_B = -(\xi_M - \xi_B) \operatorname{ct} \beta, \qquad \xi_D - \xi_B = (\eta_M - \eta_B) \operatorname{ct} \beta.$$
(1)

$$\eta - \eta_M = -A'(\xi_D - \xi_C) = A'f_2', \quad \xi - \xi_M = A'f_1'.$$
(2)

$$\xi_D - \xi_C = -f_2', \qquad \eta_D - \eta_C = f_1'.$$
 (3)

$$A' = \frac{(\eta_M - \eta_C) (\xi_D - \xi_C) - (\xi_M - \xi_C) (\eta_D - \eta_C)}{(\eta_D - \eta_C)^2} = \frac{Z'}{N'}.$$
 (4)

Der Zähler Z' kann als negative doppelte Fläche des Dreieckes CMD erkannt werden und nach Einsetzung der Beziehungen von (1) in Z' und N' des Ausdruckes (4) erhält man:

$$Z' = 2 F' (1 - \operatorname{ct} \alpha \operatorname{ct} \beta) + \left\{ (\eta_A - \eta_M) (\eta_B - \eta_M) + (\xi_A - \xi_M) (\xi_B - \xi_M) \right\} (\operatorname{ct} \alpha + \operatorname{ct} \beta), \qquad (5)$$

$$N' = \operatorname{ct}^{2} \alpha \left\{ (\xi_{A} - \xi_{M})^{2} + (\eta_{A} - \eta_{M})^{2} \right\} + \operatorname{ct}^{2} \beta \left\{ (\xi_{B} - \xi_{M})^{2} + (\eta_{B} - \eta_{M})^{2} \right\} + \left\{ (\eta_{B} - \eta_{M})^{2} + (\eta_{B} - \eta_{M})^{2} \right\} + \left\{ \operatorname{ct} \alpha \operatorname{ct} \beta \left\{ (\xi_{A} - \xi_{M}) (\xi_{B} - \xi_{M}) + (\eta_{A} - \eta_{M}) (\eta_{B} - \eta_{M}) \right\} + \left\{ \operatorname{ct} \alpha + \operatorname{ct} \beta \right\} + \left\{ (\xi_{B} - \xi_{A})^{2} + (\eta_{B} - \eta_{A})^{2} \right\}.$$

$$(6)$$

Mit F' ist dabei die Fläche des Dreieckes A M B bezeichnet worden, nämlich:

$$2 F' = \xi_A (\eta_B - \eta_M) + \xi_B (\eta_M - \eta_A) + \xi_M (\eta_A - \eta_B) = = \eta_A (\xi_M - \xi_B) + \eta_B (\xi_A - \xi_M) + \eta_M (\xi_B - \xi_A).$$
 (7)

Wir erhalten ferner noch aus (2) und (3):

$$\xi = \frac{Z'}{N'} f_{1}' + \xi_{M}, \qquad \eta = \frac{Z'}{N'} f_{2}' + \eta_{M}, \qquad (8)$$

$$f_{1}' = -\xi_{M} \left(\operatorname{ct} \alpha + \operatorname{ct} \beta \right) + \xi_{A} \operatorname{ct} \alpha + \xi_{B} \operatorname{ct} \beta + (\eta_{B} - \eta_{A}),$$

$$f_{2}' = -\eta_{M} \left(\operatorname{ct} \alpha + \operatorname{ct} \beta \right) + \eta_{A} \operatorname{ct} \alpha + \eta_{B} \operatorname{ct} \beta - (\xi_{B} - \xi_{A}).$$
(9)

Mit diesen Ausdrücken ist jene, hinsichtlich der gegebenen Koordinaten und gemessenen Winkel getrennte Darstellung gefunden, aus der, mit Anwendung des Fehlerfortpflanzungsgesetzes, der Einfluß fehlerhafter Koordinaten der Anschlußpunkte A, M, B ableitbar ist. In üblicher Weise wird dabei vorausgesetzt, daß es, mangels einer anderen Möglichkeit, statthaft ist, die Fehler der Koordinaten als voneinander unabhängige Größen zu betrachten, wenngleich in allen modernen Netzen ein gewisser Zusammenhang der Punkte, und damit auch ihrer Fehler, bestehen wird.

Wir erhalten, mit Übergehung aller Einzelheiten, bei Anwendung üblicher Bezeichnungen:

$$m^{2}_{\xi} = \left(\frac{\partial \xi}{\partial \xi_{A}}\right)^{2} m^{2}_{\xi_{A}} + \left(\frac{\partial \xi}{\partial \eta_{A}}\right)^{2} m^{2}_{\eta_{A}} + \left(\frac{\partial \xi}{\partial \xi_{B}}\right)^{2} m^{2}_{\xi_{B}} + \left(\frac{\partial \xi}{\partial \eta_{B}}\right)^{2} m^{2}_{\eta_{B}} + \left(\frac{\partial \xi}{\partial \xi_{M}}\right)^{2} m^{2}_{\xi_{M}} + \left(\frac{\partial \xi}{\partial \eta_{M}}\right)^{2} m^{2}_{\eta_{M}} + \left(\frac{\partial \xi}{\partial \alpha}\right)^{2} m^{2}_{\alpha} + \left(\frac{\partial \xi}{\partial \beta}\right)^{2} m^{2}_{\beta},$$

$$m^{2}_{\eta} = \left(\frac{\partial \eta}{\partial \xi_{A}}\right)^{2} m^{2}_{\xi_{A}} + \left(\frac{\partial \eta}{\partial \eta_{A}}\right)^{2} m^{2}_{\eta_{A}} + \left(\frac{\partial \eta}{\partial \xi_{B}}\right)^{2} m^{2}_{\xi_{B}} + \left(\frac{\partial \eta}{\partial \eta_{B}}\right)^{2} m^{2}_{\eta_{B}} + \left(\frac{\partial \eta}{\partial \xi_{M}}\right)^{2} m^{2}_{\xi_{M}} + \left(\frac{\partial \eta}{\partial \eta_{M}}\right)^{2} m^{2}_{\eta_{M}} + \left(\frac{\partial \eta}{\partial \alpha}\right)^{2} m^{2}_{\alpha} + \left(\frac{\partial \eta}{\partial \beta}\right)^{2} m^{2}_{\beta}.$$

$$(10)$$

Nach Ableitung der notwendigen Differentialquotienten ergab sich eine weitgehende Vereinfachung für die weiteren recht langwierigen Umformungen durch Übergang auf ein Parallelsystem $x // \xi$, $y // \eta$ mit dem Ursprung in dem mittleren Punkt M, wodurch die Gleichungen (10) bei Zusammenfassung nach $m_x^2 + m_y^2 = M_P^2$ übergehen in:

$$M^{2}_{P} = \left\{ \left(\frac{\partial x}{\partial x_{A}} \right)^{2} + \left(\frac{\partial y}{\partial x_{A}} \right)^{2} \right\} m^{2}_{x_{A}} + \left\{ \left(\frac{\partial x}{\partial y_{A}} \right)^{2} + \left(\frac{\partial y}{\partial y_{A}} \right)^{2} \right\} m^{2}_{y_{A}} + \left\{ \left(\frac{\partial x}{\partial x_{B}} \right)^{2} + \left(\frac{\partial y}{\partial x_{B}} \right)^{2} \right\} m^{2}_{y_{B}} + \left\{ \left(\frac{\partial x}{\partial y_{B}} \right)^{2} + \left(\frac{\partial y}{\partial y_{B}} \right)^{2} \right\} m^{2}_{y_{B}} + \left\{ \left(\frac{\partial x}{\partial x_{M}} \right)^{2} + \left(\frac{\partial y}{\partial x_{M}} \right)^{2} \right\} m^{2}_{y_{B}} + \left\{ \left(\frac{\partial x}{\partial y_{M}} \right)^{2} + \left(\frac{\partial y}{\partial y_{M}} \right)^{2} \right\} m^{2}_{y_{M}} + \left\{ \left(\frac{\partial x}{\partial x_{M}} \right)^{2} + \left(\frac{\partial y}{\partial x_{M}} \right)^{2} \right\} m^{2}_{y_{M}} + \left\{ \left(\frac{\partial x}{\partial x_{M}} \right)^{2} + \left(\frac{\partial y}{\partial x_{M}} \right)^{2} \right\} m^{2}_{x_{M}} + \left\{ \left(\frac{\partial x}{\partial x_{M}} \right)^{2} + \left(\frac{\partial y}{\partial x_{M}} \right)^{2} \right\} m^{2}_{x_{M}} + \left\{ \left(\frac{\partial x}{\partial x_{M}} \right)^{2} + \left(\frac{\partial y}{\partial x_{M}} \right)^{2} \right\} m^{2}_{x_{M}} + \left\{ \left(\frac{\partial x}{\partial x_{M}} \right)^{2} + \left(\frac{\partial y}{\partial x_{M}} \right)^{2} \right\} m^{2}_{x_{M}} + \left\{ \left(\frac{\partial x}{\partial x_{M}} \right)^{2} + \left(\frac{\partial y}{\partial x_{M}} \right)^{2} \right\} m^{2}_{x_{M}} + \left\{ \left(\frac{\partial x}{\partial x_{M}} \right)^{2} + \left(\frac{\partial y}{\partial x_{M}} \right)^{2} \right\} m^{2}_{x_{M}} + \left\{ \left(\frac{\partial x}{\partial x_{M}} \right)^{2} + \left(\frac{\partial y}{\partial x_{M}} \right)^{2} \right\} m^{2}_{x_{M}} + \left\{ \left(\frac{\partial x}{\partial x_{M}} \right)^{2} + \left(\frac{\partial y}{\partial x_{M}} \right)^{2} \right\} m^{2}_{x_{M}} + \left\{ \left(\frac{\partial x}{\partial x_{M}} \right)^{2} + \left(\frac{\partial y}{\partial x_{M}} \right)^{2} \right\} m^{2}_{x_{M}} + \left\{ \left(\frac{\partial x}{\partial x_{M}} \right)^{2} + \left(\frac{\partial y}{\partial x_{M}} \right)^{2} \right\} m^{2}_{x_{M}} + \left\{ \left(\frac{\partial x}{\partial x_{M}} \right)^{2} + \left(\frac{\partial y}{\partial x_{M}} \right)^{2} \right\} m^{2}_{x_{M}} + \left\{ \left(\frac{\partial x}{\partial x_{M}} \right)^{2} + \left(\frac{\partial y}{\partial x_{M}} \right)^{2} \right\} m^{2}_{x_{M}} + \left\{ \left(\frac{\partial x}{\partial x_{M}} \right)^{2} + \left(\frac{\partial y}{\partial x_{M}} \right)^{2} \right\} m^{2}_{x_{M}} + \left\{ \left(\frac{\partial x}{\partial x_{M}} \right)^{2} + \left(\frac{\partial x}{\partial x_{M}} \right)^{2} \right\} m^{2}_{x_{M}} + \left\{ \left(\frac{\partial x}{\partial x_{M}} \right)^{2} + \left(\frac{\partial x}{\partial x_{M}} \right)^{2} \right\} m^{2}_{x_{M}} + \left\{ \left(\frac{\partial x}{\partial x_{M}} \right)^{2} + \left(\frac{\partial x}{\partial x_{M}} \right)^{2} \right\} m^{2}_{x_{M}} + \left\{ \left(\frac{\partial x}{\partial x_{M}} \right)^{2} + \left(\frac{\partial x}{\partial x_{M}} \right)^{2} \right\} m^{2}_{x_{M}} + \left\{ \left(\frac{\partial x}{\partial x_{M}} \right)^{2} + \left(\frac{\partial x}{\partial x_{M}} \right)^{2} \right\} m^{2}_{x_{M}} + \left\{ \left(\frac{\partial x}{\partial x_{M}} \right)^{2} + \left(\frac{\partial x}{\partial x_{M}} \right)^{2} \right\} m^{2}_{x_{M}} + \left\{ \left(\frac{\partial x}{\partial x_{M}} \right)^{2} + \left(\frac{\partial x}{\partial x_{M}} \right)^{2}$$

Jede Zeile auf der rechten Seite entspricht hier jenem Fehleranteil, mit dem die Lagefehler von A, B, M, bzw. die Winkelfehler, Beitrag leisten zum Lagefehler des Neupunktes. (Schluß folgt.)

Literaturnachweis.

[1] Ackerl, Sull'influsso d'una posizione difettosa dei punti noti al risultato della intersezione inversa.

[2] Ackerl, Über den Einfluß fehlerhafter Festpunkte auf das Ergebnis des Vorwärtseinschneidens, Deutsche Zeitschrift für Vermessungswesen, 1930.

[3] Hinterkeuser, Über eine Punktpaarbestimmung nach beweglichen Hochzielen und ihre Verwendung zum Aufbau einer weiträumigen Triangulation, Sonderheft 20 zu den Nachrichten aus dem Reichsvermessungsdienst, Mitteilungen des Reichsamtes für Landesaufnahme, Berlin, 1941.

[4] Jordan-Eggert, Handbuch des Vermessungswesens, Zweiter Band, erster Halbband, Metzler, Stuttgart, 1931.

[5] Eggert, Einführung in die Geodäsie, Teubner, Leipzig, 1907.